

Marian MARSCHALKO*

PODMÍNĚNOST VÝSKYTU SVAHOVÝCH DEFORMACÍ VE VNĚKARPATSKÉM FLYŠI
CONDITIONALITY OF SLOPE DEFORMATIONS OCCURRENCE IN OUTER CARPATHIAN
FLYSCH

Abstrakt

V článku byly popsány stručné geomorfologické a geologické poměry flyšového pásma. Jsou zde vymezeny vztahy mezi charakteristikami reliéfu a podložím, uveden geomorfologický vývoj území, morfometrická charakteristika a typické tvary reliéfu (svahy), geologická charakteristika oblasti, klimatické poměry, zvláště s ohledem vlivu srážek na iniciaci a reaktivaci svahových pohybů. Dále byly popsány hydrologické a hydrogeologické poměry karpatského flyše s důrazem na specifické hydrogeologické podmínky, které vytváří vhodné prostředí pro gravitační svahové deformace, stručná inženýrskogeologická charakteristika regionu karpatského flyše, faktory podmiňující výskyt svahových poruch ve vněkarpatském flyši. Byl zpracován digitální model svahů a vytvořena mapa sklonitosti svahů vněkarpatského flyše pomocí programu Surfer, která bude využita v dalších fázích výběru typových modelů svahů a také pro následné studium závislosti změny sklonu svahu na stupeň stability.

Abstract

In the article geomorphological and geological conditions of the flysch zone are described briefly. Relations between the characteristics of the topography and the basement are defined. The geomorphological development of the area, the morphometric characterization and typical features (slopes), the geological characterization of the area, climatic conditions, especially with regard to the influence of rainfall on the initiation and reactivation of slope movements are presented here. Further, hydrological and hydrogeological conditions of the Carpathian Flysch with emphasis put on specific hydrogeological conditions forming an environment suitable for gravitational slope deformation, the brief engineering geological characterization of the Carpathian Flysch region, factors conditioning the occurrence of slope failures in the Outer Carpathian Flysch are described. A digital slope model was created and a map of the gradients of slopes in the Outer Carpathian Flysch was made by means of the Surfer program. The map will be used in the next phases of selecting type slope models and also in the next study of the dependence of a slope gradient change on the degree of stability.

Key words: slope deformation, engineering geology, flysch zone.

1. Úvod

Vněkarpatský flyš představuje z hlediska četnosti výskytu svahových deformací jednu z nejpostiženějších geologických jednotek v České a Slovenské republice. Zejména po povodňové situaci v roce 1997, kdy byl postižen velkým množstvím svahových gravitačních pohybů, iniciovaných a reaktivovaných neobvykle anomálními srázkami.

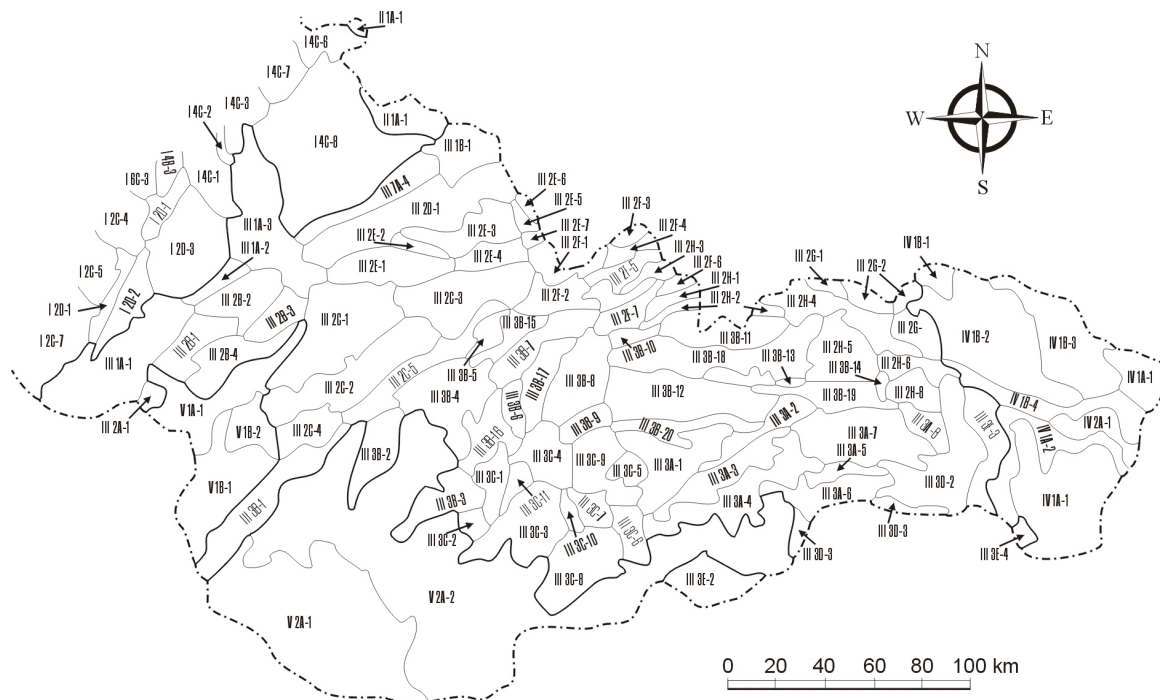
V následujících kapitolach jsou stručně popsány: geomorfologické a geologické poměry flyšového pásma, vztahy mezi charakteristikami reliéfu a podložím, klimatické poměry, hydrologické a hydrogeologické poměry, inženýrskogeologická charakteristika regionu karpatského flyše, faktory podmiňující výskyt svahových poruch v této geologické jednotce s uvedením digitálního modelu terénu a mapy sklonitosti svahů.

* Ing., Ph.D., Institut geologického inženýrství, Hornicko-geologická fakulta, VŠB - Technická univerzita Ostrava, tř.17.listopadu, 708 33 Ostrava-Poruba, Tel: 00/420/596993505, E-mail: marian.marschalko@vsb.cz

2. Stručné geomorfologické a geologické poměry flyšového pásma.

Podle regionálního a typologického geomorfologického členění (obr. 2.1) patří flyšové pásmo do provincie Západní Karpaty, soustavy Vnější Západní Karpaty. Na území České a Slovenské republiky zahrnuje tyto geomorfologické celky: Ždánický les (III.2.B-1), Chřiby (III.2.B-3), Vizovická vrchovina (III.2.C-1), Bílé Karpaty (III.2.C-2), Javorníky (III.2.C-3), Západní Beskydy (III.2.E), Hostýnsko-vsetínská hornatina (III.2.E-1), Moravskoslezské Beskydy (III.2.E-3), Kysucké Beskydy (III.2.F-1), Oravské Beskydy (III.2.F-3), Oravská Magura (III.2.F-6), Čergov (III.2.G-3), Skorušinské vrchy (III.2.H-1), Spišská Magura (III.2.H-4), Nízké Beskydy (IV.1.B), Busov (IV.1.B-1), Ondavská vrchovina (IV.1.B-2), Laborecká vrchovina (IV.1.B-3).

Reliéf flyšového pásma je ve svých základních rysech ovlivněn odlišnou geomorfologickou hodnotou flyšových hornin, kterými jsou tyto jednotky budovány a tektonickými pohyby od paleogénu až po kvartér. Pro flyšové pásmo je typické střídání méně a více členitých oblastí. Tak např. u reliéfu ústředního hřbetu Radhošťské hornatiny vidíme málo členitý kompaktní reliéf budovaný komplexem pevných glaukonitických pískovců středních vrstev godulských. Naopak členitý reliéf můžeme vidět na severu, kde v horninách různě odolných vůči exogenním procesům (spodní godulské vrstvy, pestré godulské vrstvy a ostravické pískovce) se střídají návrší, strukturní plošiny a zálomy s méně členitým reliéfem.



Obr. 2.1 Základní geomorfologické jednotky (Demek, Mištera, 1985)

Vysvětlivky k obr. 2.1

barevné označení - flyšové pásmo

Provincie	soustava	podSoustava	celek
		III.2.A Jihomoravské Karpaty	III.2.A -1 Mikulovská vrchovina III.2.B. -1 Ždánický les III.2.B -2 Litenčická pahorkatina III.2.B -3 Chřiby III.2.C -1 Vizovická vrchovina
		III.2.B Středomoravské Karpaty	III.2.C -2 Bílé Karpaty III.2.C -3 Javorníky III.2.C -4 Myjavská pahorkatina III.2.C -5 Považské podolie
		III.2.C Moravsko-slovenské Karpaty	III.2.D Západobeskydské podhůří
		III.2.D	III.2.D -1 Podbeskydská pahorkatina
			III.2.E -1 Hostýnsko-vsetínská hornatina III.2.E -2 Rožnovská brázda III.2.E -3 Moravskoslezské Beskydy III.2.E -4 Turzovská vrchovina III.2.E -5 Jablunkovská brázda III.2.E -6 Slezské Beskydy III.2.E -7 Jablunkovské mezihoří
		III.2.E Západní Beskydy	III.2.F -1 Kysucké Beskydy III.2.F -2 Kysucká vrchovina III.2.F -3 Oravské Beskydy III.2.F -4 Podbeskydská brázda III.2.F -5 Podbeskydská vrchovina III.2.F -6 Oravská Magura III.2.F -7 Oravská vrchovina
		III.2.F Stredné Beskydy	III.2.G -1 Pieniny III.2.G -2 Ľubovnianska vrchovina III.2.G -3 Čergov
		III.2.G Východné Beskydy	III.2.H -1 Skorušinské vrchy III.2.H -2 Podtatranská brázda III.2.H -3 Oravská kotlina III.2.H -4 Spišská Magura III.2.H -5 Levočské vrchy III.2.H -6 Bachureň III.2.H -7 Spišsko-šarišské medzihorie III.2.H -8 Šarišská vrchovina
		III.2.H Podhôľno-magurská podSoustava	
		IV.1.A Poloniny	IV.1.A -1 Bukovské vrchy
		IV.1.B Nízke Beskydy	IV.1.B -1 Busov IV.1.B -2 Ondavská vrchovina IV.1.B -3 Laborecká vrchovina IV.1.B -4 Beskydské predhorie
		IV.2.A Vihorlatsko-gutínska podSoustava	IV.2.A -1 Vihorlatské vrchy
III. Západní Karpaty	III.2 Vnější Západní Karpaty		
IV. Východné Karpaty	IV.1 Vnější Východní Karpaty		
	IV.2 Vnitřní Východní Karpaty		

Podobně to můžeme vidět v její západní části, kde se projevuje silná litologická proměnlivost istebňanského souvrství, které je zde budováno pískovci, slepenci a jílovci.

2.1 Vztahy mezi charakteristikami reliéfu a podložím.

Reliéf, vzniklý v neogénu, byl výrazně přemodelován glacigenními, zejména perigaciálními pleistocenními procesy (Stehlík, 1961). Střídání různě odolných pískovců, slepenců a jílovů, jejich zastoupení a vzájemný poměr, ovlivňují podstatným způsobem morfometrické charakteristiky jako jsou např.: průběh údolní sítě, sklon svahů, relativní výšky hřbetů, hustota erozní sítě atd. Geomorfologický význam hornin je ovlivněn především jejich zrnitostí, jakostí a typem tmu, mocností stejnorodých poloh, množstvím a mocností různých vložek odlišných fyzikálně-mechanických vlastností, dále zvrstvením, hustotou puklin, propustností a dalšími faktory (Buzek et al., 1986).

2.1.1 Geomorfologický vývoj území

Základní charakter reliéfu je dán složitými tektonickými pohyby a reliéfotvornými procesy v terciéru a kvartéru. V celém území se odraží vlastnosti podloží, zvláště jeho odolnost vůči zvětrávání a odnosu. Velmi důležité pro geomorfologický vývoj této oblasti bylo střídání období tektonické aktivity s obdobími tektonického klidu, v nichž probíhalo silné zarovnávání reliéfu, spojené s působením eroze a denudace a následného odnosu. Toto střídání dalo základ vzniku několika generací plošin.

Z geodynamických procesů je nejvýznamnější hluboké zvětrávání, svahová eroze a svahové pohyby. Z perigaciálních procesů se uplatňovala soliflukce modelující oblé formy reliéfu, která vytvářela akumulace mocných svahových hlín (průměrně 5 až 8 m) na úpatích pohoří a v lokálních depresích. Gravitační pohyby zasáhly i navětralé části flyšového podkladu a způsobily tzv. hákování vrstev, které při povrchním hodnocení odkryvů často zapříčinuje nesprávné závěry o úložných poměrech hornin ve svahu. Deluviální hlíny jsou silně jílovité a z tohoto důvodu většinou mají nevhodné geotechnické vlastnosti pro stabilitu svahů. V širokých rovinatých územích v předhoří flyšových hornatin i vrchovin se uplatňovala a uplatňuje výmolová eroze (Beskydy, Bílé Karpaty, Javorníky, aj.). Výrazně se projevila během povodňové situace v roce 1997, kdy byla příčinou vzniku a reaktivace celé řady svahových gravitačních pohybů (viz. kapitola 3 a 6.1).

2.1.2 Morfometrická charakteristika a typické tvary reliéfu (svahy)

Oblasti flyšových hornatin

Flyšové hornatiny jsou rozloženy v mohutném oblouku a vrcholy jejich hlavních masívů dosahují nadmořské výšky 1000 - 1300 m. Mají relativně jednotvárné litologické složení a jednoduchou geologickou stavbu. Formování makroreliéfu a mezoreliéfu se odrazilo ve větší morfologické monotónnosti, v osové usměrněnosti hřbetů a údolí, i v typu říční sítě. Energie reliéfu je tu nižší, amplitudy již jsou 100 až 500 m rel. Celkový ráz krajiny je charakterizován měkkými tvary s plochými hřbety, širokými subsekventními údolími s mírnými svahy, erozními kotlinami a brázdami. U pískovcových a slepencových souvrství jsou vymodelovány selektivní denudací strmější vysoké hřbety (až monoklinální kvesty), které jsou prozezány hlubokými údolími příčných toků.

Oblasti flyšových vrchovin a pahorkatin

V těchto oblastech jsou značně rozšířeny především deluviální sedimenty vzniklé zejména perigaciální soliflukcí, která přemístila velké množství zvětralin a málo odolného podkladu do lokálních depresí a k úpatím svahů (extrémní mocnost 18-20 m). Oblasti flyšových vrchovin se vytvořily zejména na širokých převážně jílovcových komplexech a na komplexech relativně rychlého střídání psamitických a pelitických hornin. Amplitudy reliéfu jsou 50 - 200 m rel.. Reliéf území je monotónní, převládají mírné sklony měkce modelovaných svahů, zaoblené hřbety a široká mělká údolí. Méně časté jsou morfologicky aktivní formy reliéfu na slepencových, pískovcových komplexech a vápencích, kde vznikají skalní bradla, protáhlé ostré hřbety aj.

Svahy

Z hlediska záměru této práce uvádí pouze stručnou charakteristiku nejdynamičtějších tvarů – svahů.

Tyto prvky reliéfu flyšových Karpat mají profil převážně konvexně-konkávního tvaru. V horních částech těchto svahů jsou oblasti odnosu a na povrch často vystupuje skalní podloží. Dolní, konkávní část svahu, je překryta svahovými sedimenty. Geneticky můžeme rozdělit svahy na erozně-denudační, akumulační a zlomové, které se s největší pravděpodobností ve flyšových sedimentech nemohly udržet ve své původní podobě i pozici a byly postupně přemodelovány (Buzek et al., 1986).

Příkré erozně-denudační svahy se sklonem nad 20° se vyskytují především v odolných pískovcových komplexech a jejich geneze je tektonicky předisponeována.

Mírné erozně-denudační svahy se sklonem do 20° jsou zpravidla kryty mocnějšími svahovými sedimenty. Kvartérní údolíčka, která je místy prozezávají až na skalní podklad, mají méně výrazný příčný profil ve srovnání se stržemi na příkrých svazích.

Svahy na akumulačních pokryvech zpravidla svým sklonem přesahují 8° a jsou zastoupeny především soliflukčními sedimenty při přechodu do velkých údolí a kotlin. Od erozně denudačních svahů jsou převážně odděleny úzkým pruhem příkřejších svahů na suťových osypech. Při vyústění velkých údolí do kotlin a brázd jsou akumulační svahy tvořeny náplavovými kužely a proluvii.

2.2 Geologická charakteristika

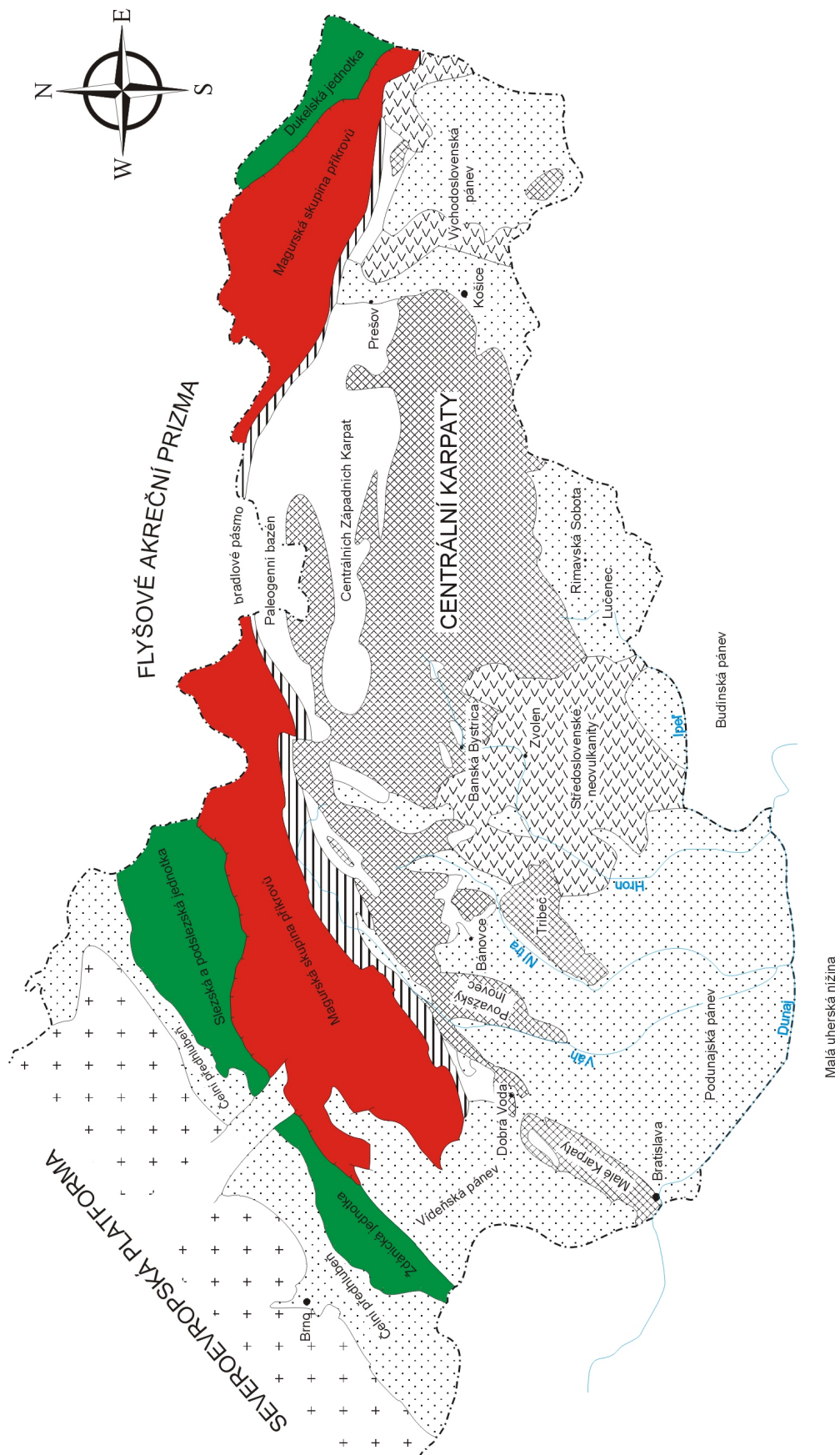
Flyšové pásmo patří k externidám Vnějších Západních Karpat. Jeho pozici ukazuje tabulka 2.2.1 (Kováč, 1993). Tvoří neoalpinské akreční prizma (obr. 2.2.1), které se nachází v čele nasouvající se plotny ranněalpinských konsolidovaných Centrálních Západních Karpat.

Podle geofyzikálních údajů (Mišík et al., 1985) a vrtného průzkumu (Stránič et al., 1993) dosahuje mocnost flyšového pásmá 5 až 7 km. Je to způsobeno velkou primární mocností sedimentárních souvrství a tektonickým nakupením. Nachází se zde také čočky jurských vápenců (ve starších pracích označované jako „vnější bradlové pásmo“) odtržené z podloží při vyvrásnění flyšového pásmá.

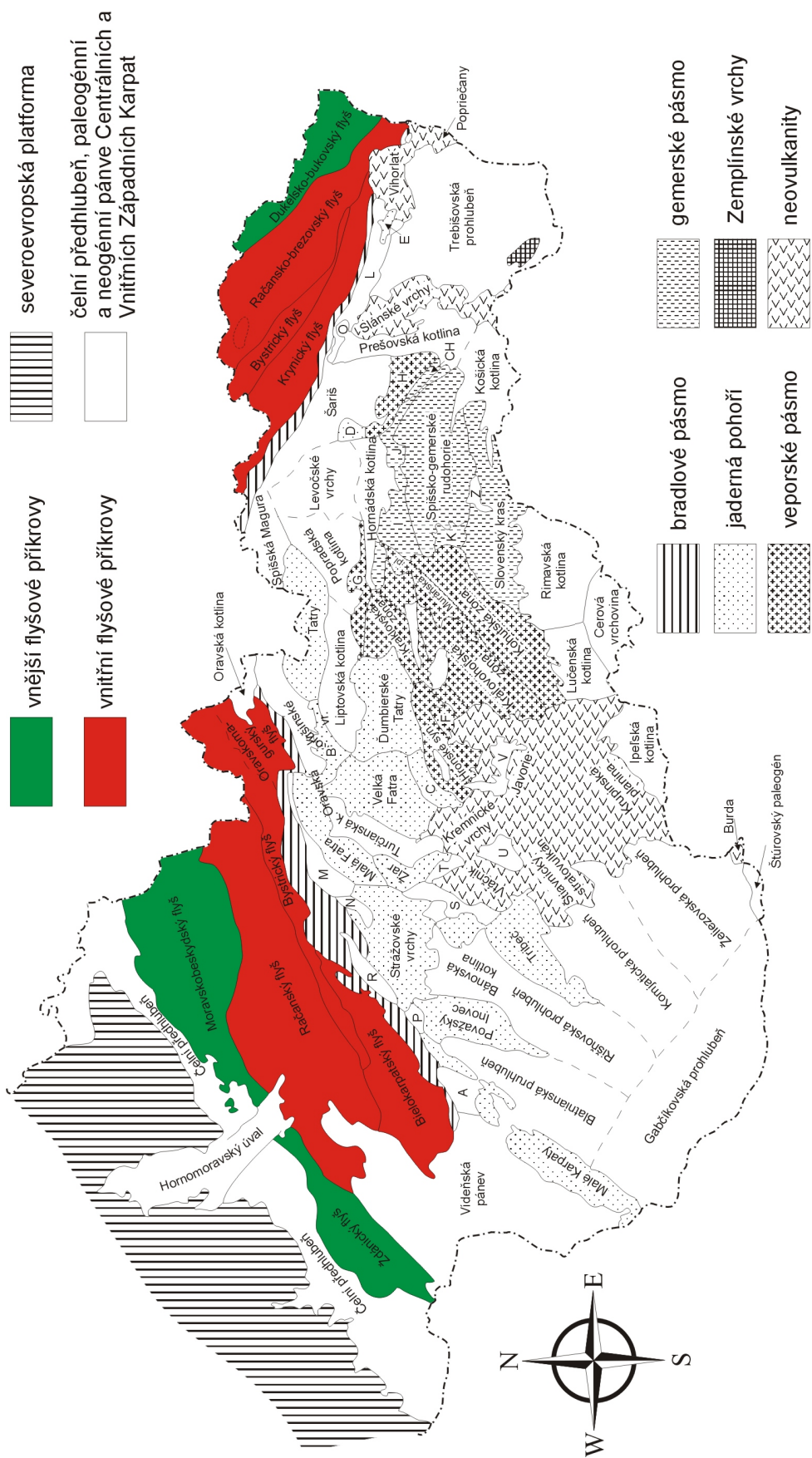
Tab. 2.2.1 Pozice flyšového pásmá v rámci morfostrukturálního a geologického členění Západních Karpat (podle Kováč et al., 1993) - *zájmové uzemí

		čelní předhlubeň	
EXTERNIDY	<i>Vnější Západní Karpaty</i>	<i>flyšové pásmo *</i>	<i>vнější krosněnská zóna</i>
			<i>vnitřní magurská zóna</i>
		<i>bradlové pásmo</i>	<i>Čorštýnská jednotka</i>
			<i>Kysucko – pieninská jednotka</i>
INTERNIDY	<i>Centrální Západní Karpaty</i>	<i>přibradlové pásmo</i>	<i>Klapská jednotka</i>
			<i>Manínská jednotka</i>
		<i>pásmo jáderných pohoří</i>	<i>Tatrikum</i>
			<i>Subtatranské příkrovov</i>
		<i>veporské pásmo</i>	<i>Veporikum</i>
			<i>Chočský a muránský příkrov</i>
		<i>gemerské pásmo</i>	<i>Gemerikum</i>
	<i>Vnitřní Západní Karpaty</i>	<i>meliatské pásmo</i>	<i>silický příkrov</i>
			<i>pásmo Bükkku</i>

Mohutnou zónu flyšového pásmá tvoří příkrovový, které obsahují souvrství křídových a paleogenních sedimentů, usazených zejména z turbiditních proudů. Geologickou stavbu tvoří dvě zóny, vnější (krosnenská) zóna a vnitřní (magurská), vyvrásněné na konci paleogénu a ve středním miocénu. Bližší členění je uvedeno v tabulce 2.2.2 a na obrázku 2.2.2. Dráha násunu vnitřních flyšových příkrovů na vnější straně je až 40 km (na východním Slovensku). Flyšové pásmo jako celek je nasouváno na neogenní čelní předhlubeň v délce až 25 km. Jednotky flyšového pásmá byly úplně odtrženy od svého podkladu a nasunuty na platformní předpolí Českého masívu (obr. 2.2.3).



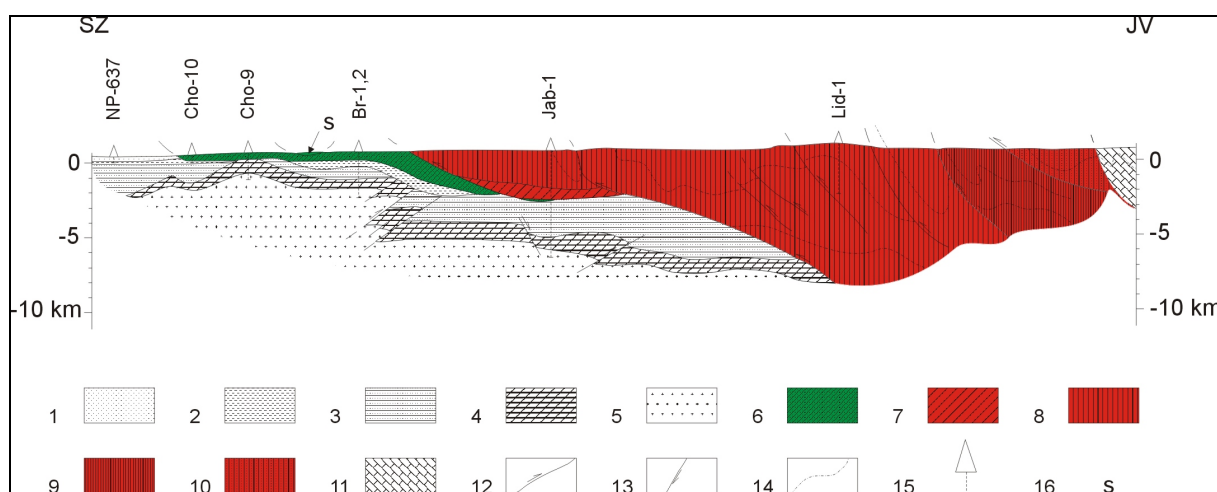
Obr. 2.2.1 Tektonická skica Západních Karpat (Kováč et al., 1993)



Obr. 2.2.2 Geologické a morfostrukturální členění Západních Karpat (Vass et al., 1988)

Tab. 2.2.2 Členění flyšového pásmo (podle Kováč et al., 1993)

Zóna	Jednotka	Poznámka
Vnější (krovnenská) zóna	podslezského příkrovu (ždánicko-podslezská) slezského příkrovu duklianská předmagurská	zvrásněná během neogénu
Vnitřní (magurská) zóna	račanského příkrovu bystrického příkrovu bělokarpatského příkrovu krynického příkrovu	zvrásněná během paleogénu



Obr. 2.2.3 Profil části Západních Karpat s flyšovým pásmem (Stránič et al., 1993)

Geologický řez Blahutovice – Vršatec

1 – střední miocén (baden) karpatské předhlubně, 2 – spodní miocén karpatské předhlubně, 3 – uhlonosný svrchní karbon a kulmský vývoj spodního karbonu, 4 – karbonáty devonu až spodního karbonu, 5 – krystalinikum brunovistulika, 6 – podslezská jednotka, 7 – předmagurská jednotka, 8 – račanská jednotka magurské skupiny příkrovů, 9 – bystrická jednotka magurské skupiny příkrovů, 10 – bělokarpatská jednotka magurské skupiny příkrovů, 11 - pieninské bradlové pásmo, 12 – příkrovový a přesmykový, 13 – zlomy, 14 – strukturní linie vnitřní stavby příkrovů, 15 – vrty, 16 – s (slezská jednotka)

3. Klimatické poměry

Klimatické poměry na území karpatského flyše lze charakterizovat podle klimatických klasifikací, kterých byla vypracována celá řada. Podle Alisovy genetické klasifikace (Buzek et al., 1986) leží flyšové pásmo Karpat v mírném pásmu na hranicích mezi oblastí atlanticko-kontinentální a oblastí evropsko-kontinentální, tedy na hranici mezi přímořským a kontinentálním klimatem. Charakteristický je výskyt vzduchových hmot mírných šírek, zatímco výskyt arktických nebo tropických vzduchových hmot je poměrně řídký.

Podle Köppenovy klasifikace, lze oblast karpatského flyše zařadit do skupiny klimatu Cfb, event. Dfb, podle toho zda teplota nejchladnějšího měsíce je vyšší nebo nižší než -3°C , přičemž srážky jsou v obou oblastech během roku rozděleny rovnoměrně (písmeno f) a alespoň čtyři měsíce mají průměrnou teplotu vyšší než 10°C . Pouze oblasti nad 1200 m n.m. patří již do oblasti Dfc, charakterizované alespoň jedním měsícem s teplotou nad 10°C (Buzek et al., 1986).